

[1] Базь А. И., Зельдович Я. Б., Переломов А. М. Рассеяния, реакции и распады в нерелятивистской квантовой механике. М., 1971. С. 50—52. [2] Файн В. М. Квантовая радиофизика. Т. 1. Фотоны и нелинейные среды. М., 1972. С. 62—71. [3] Лоудон Р. Квантовая теория света. М., 1976. С. 221. [4] Клышко Д. Н. Физические основы квантовой электроники. М., 1986. С. 258. [5] Смирнов Д. Ф., Грошин А. С. // УФН. 1987. 153, № 2. С. 293. [6] Елютин П. В. // ДАН СССР. 1987. 294, № 5. С. 1089.

Поступила в редакцию
25.06.90

ВЕСТН. МОСК. УН-ТА. СЕР. 3. ФИЗИКА. АСТРОНОМИЯ. 1991. Т. 32, № 1

РАДИОФИЗИКА

УДК 533.951

НЕЛИНЕЙНЫЕ ВЕРХНЕГИБРИДНЫЕ ВОЛНЫ ПРИ КОНЕЧНОЙ ТЕМПЕРАТУРЕ ПЛАЗМЫ

И. М. Алешин, Л. С. Кузьменков, О. О. Трубочев

(кафедра теоретической физики)

Найдено и исследовано решение релятивистских кинетических уравнений Власова—Максвелла в кубическом по полю приближении для верхнегибридных волн, распространяющихся перпендикулярно внешнему магнитному полю.

Изучение нелинейных верхнегибридных волн в рамках релятивистской кинетической теории плазмы имеет самостоятельный интерес. Кроме того, такие волны при распространении перпендикулярно магнитному полю могут эффективно ускорять заряженные частицы [1, 2].

Найдем стационарное решение самосогласованной системы уравнений Власова—Максвелла для верхнегибридных волн, распространяющихся вдоль оси Ox перпендикулярно внешнему магнитному полю $\mathbf{B} = (0, 0, B_0)$ в кубическом по амплитуде волны E приближении. При этом предполагается, что $v_E/c = eE/(mc\omega) \ll 1$ и поле B_0 не слишком сильное: $\omega_B/\omega_p \ll 1$, где ω_B и ω_p — циклотронная и плазменная частоты соответственно.

Учитывая, что для верхнегибридной волны движением ионов можно пренебречь и ее поперечная составляющая порядка EB_0 , уравнения Власова—Максвелла сведем к системе уравнений

$$V^{(IV)} + \omega_0^2 \ddot{V} + \mu_1 \dot{V}^2 + \mu_2 \omega^3 + \mu_3 \omega_B^2 V + \mu_4 \omega_B W = 0, \quad (1)$$

$$W^{(IV)} - \kappa^2 \ddot{W} + \eta_1 \omega_B \dot{V} + \eta_2 \omega_B \dot{V} \dot{V} + \eta_3 \omega_B \dot{V}^2 + \eta_4 \ddot{W} \dot{V} + \eta_5 \ddot{W} \dot{V} = 0$$

для функций V и W таких, что $\dot{V} = -eE_x$, $\dot{W} = -eE_y$; точкой обозначено дифференцирование по переменной $\tau = t - x/v_{ph}$; v_{ph} — фазовая скорость волны. Коэффициенты уравнений (1) являются функциями фазовой скорости и температуры плазмы T . Общий вид этих функций и их асимптотики для фазовых скоростей, близких к скорости света, даются формулами

$$\omega_0^2 = -4\pi e^2 \int v_x \frac{1}{\Delta} \frac{\partial f_0}{\partial p_x} d^3 p \approx \omega_p^2 K_2^{-1}(\alpha) \left[K_1(\alpha) + \frac{2}{\alpha} K_0(\alpha) \right];$$

$$\mu_1 = -2\pi e^2 \int v_x \left(\frac{1}{\Delta} \frac{\partial}{\partial p_x} \right)^2 f_0 d^3 p \approx -\frac{3\omega_p^2}{2mc} \left(1 + \frac{2K_1(\alpha)}{\alpha K_2(\alpha)} \right);$$

$$\mu_2 = -\frac{2\pi e^3}{3} \int v_x \left(\frac{1}{\Delta} \frac{\partial}{\partial p_x} \right)^2 f_0 d^3 p \approx -\frac{2\omega_p^2}{(mc)^2} \left[\frac{6}{\alpha} + \frac{K_1(\alpha)}{K_2(\alpha)} \right];$$

$$\mu_3 = -4\pi m^2 c^2 \int v_x \left(\frac{1}{\Delta} \left(v_y \frac{\partial}{\partial p_x} - v_x \frac{\partial}{\partial p_y} \right) \right)^2 \frac{1}{\Delta} \frac{\partial}{\partial p_x} f_0 d^3 p \simeq$$

$$\simeq -\omega_p^2 K_2^{-1}(\alpha) \left[K_3(\alpha) + \frac{5}{\alpha} K_4(\alpha) + \frac{315}{\alpha^2} K_5(\alpha) \right];$$

$$\mu_4 = 4\pi m e^2 \int \frac{v_x}{\Delta} \left(v_y \frac{\partial}{\partial p_x} - v_x \frac{\partial}{\partial p_y} \right) \frac{1}{\Delta} \frac{\partial f_0}{\partial p_y} d^3 p \simeq 0,5\omega_p^2 [3 - K_0(\alpha)/K_2(\alpha)];$$

$$\kappa^2 = \frac{4\pi e^2}{\varepsilon} \int \frac{v_y}{\Delta} \frac{\partial f_0}{\partial p_y} d^3 p \simeq -\frac{\omega_p^2}{\delta} \left[1 - \frac{K_0(\alpha)}{K_2(\alpha)} \right];$$

$$\eta_1 = \frac{4\pi e^2 m}{\delta} \int \frac{v_y}{\Delta} \left(v_y \frac{\partial}{\partial p_x} - v_x \frac{\partial}{\partial p_y} \right) \frac{1}{\Delta} \frac{\partial f_0}{\partial p_x} d^3 p \simeq -\frac{\omega_p^2}{2\delta} \left[3 + \frac{K_0(\alpha)}{K_2(\alpha)} \right];$$

$$\eta_2 = \frac{4\pi e^2 m}{\delta} \int \frac{v_y}{\Delta} \frac{\partial}{\partial p_x} \frac{1}{\Delta} \left(v_y \frac{\partial}{\partial p_x} - v_x \frac{\partial}{\partial p_y} \right) \frac{1}{\Delta} \frac{\partial f_0}{\partial p_x} d^3 p \simeq$$

$$\simeq -\frac{\omega_p^2}{2m\delta} \left[3 - \frac{K_0(\alpha)}{K_2(\alpha)} \right];$$

$$\eta_3 = \frac{2\pi m e^2}{\delta} \int \frac{v_y}{\Delta} \left(v_y \frac{\partial}{\partial p_x} - v_x \frac{\partial}{\partial p_y} \right) \left(\frac{1}{\Delta} \frac{\partial}{\partial p_x} \right)^2 f_0 d^3 p \simeq$$

$$\simeq -\frac{\omega_p^2}{2m\delta} \left[\frac{K_3(\alpha)}{K_2(\alpha)} + \frac{\alpha}{2} \left(\frac{K_0(\alpha)}{K_2(\alpha)} - 1 \right) + \frac{30K_4(\alpha)}{\alpha K_2(\alpha)} + \frac{315K_5(\alpha)}{[\alpha^2 K_2(\alpha)]} \right];$$

$$\eta_4 = \frac{-4\pi e^2}{\delta} \int v_y \left(\frac{\partial}{\partial p_y} + \frac{v_y}{v_{ph}\Delta} \frac{\partial}{\partial p_x} \right) \frac{1}{\Delta} \frac{\partial f_0}{\partial p_x} d^3 p \simeq$$

$$\simeq -\frac{7\omega_p^2}{m\delta} \cdot K_1(\alpha)/K_2(\alpha);$$

$$\eta_5 = \frac{-4\pi e^2}{\delta} \int \frac{v_y}{\Delta} \frac{\partial}{\partial p_x} \frac{1}{\Delta} \frac{\partial f_0}{\partial p_y} d^3 p \simeq -\frac{\omega_p^2}{2m\delta} [K_0(\alpha) - 0,75K_2(\alpha) -$$

$$- 3,75K_3(\alpha)]; \quad \delta \equiv 1 - c^2/v_{ph}^2; \quad \Delta \equiv 1 - v_x/v_{ph};$$

$$f_0 = n\alpha \exp\{-\alpha u_0\}/[4\pi (mc)^3 K_2(\alpha)];$$

где f_0 — релятивистская максвелловская функция распределения, u_0 — 4-скорость, $K_n(\alpha)$ — функции Макдональда, $\alpha \equiv mc^2/T$.

Для решения нелинейной системы уравнений (1) можно использовать метод Крылова—Боголюбова. Для продольной E_x и поперечной E_y компонент электрического поля получаем

$$E_x = -E_0 \sin(\omega\tau + \varphi_0) + \frac{e\mu_1}{8\omega} E_0^2 \sin[2(\omega\tau + \varphi_0)] -$$

$$- \frac{3e^2}{8\omega^3} E_0^3 \left(\frac{\mu_1^2}{3\omega^2} + \frac{\mu_2}{2} \right) \sin[3(\omega\tau + \varphi_0)]; \quad (2)$$

$$E_y = \frac{\eta_1 \omega_B E_0 \cos(\omega\tau + \varphi_0)}{\omega(\kappa^2 + \omega_0^2)} - \frac{e\omega_B E_0^2}{2\omega^2 \kappa^2} \left(\frac{\mu_2 \eta_1}{\omega^2} + \eta_2 - \eta_3 - \frac{(\eta_4 - \eta_5) \eta_1}{\omega_0^2 + \kappa^2} \right) -$$

$$- \frac{e\omega_B E_0^2}{2\omega(\kappa^2 + \omega_0^2 4)} \left(\eta_2 + \eta_3 + \frac{\mu_1 \eta_1}{3\omega^2} + \frac{\eta_1(\eta_4 + \eta_5)}{\omega_0^2 + \kappa^2} \right) \cos[2(\omega\tau + \varphi_0)]; \quad (4)$$

$$\Delta\omega \equiv \omega - \omega_0 = -\frac{e^2 E_0^2}{4\omega_0^3} \left(\frac{3\mu_2}{2} - \frac{5\mu_1^2}{3\omega_0^3} \right) + \frac{\omega_B^2}{2\omega_0^3} \left(\mu_3 + \frac{\mu_4 \eta_1}{\omega_0^2 + \kappa^2} \right).$$

Из (2) видно, что продольная составляющая имеет вторую и третью гармоники, амплитуда которых не зависит от B_0 [3]. Первая гармоника поперечной компоненты волны (3) соответствует результату линейной теории [4]. Волна конечной амплитуды имеет также вторую гармонику поперечной компоненты и постоянную составляющую. Появление второй гармоники поля E_y есть следствие нелинейности уравнения для продольной составляющей и нелинейной связи между E_x и E_y . Постоянная составляющая поля E появляется за счет перехода в систему отсчета, связанную с волной, как следствие преобразований Лоренца для поля и приводит к серфинг-эффекту [1, 2]. Но это поле равно нулю в лабораторной системе отсчета. Самосогласованный учет тока частиц, движущихся вдоль фронта волны, приводит к тому, что постоянное электрическое поле отлично от нуля и в лабораторной системе отсчета. В результате в системе отсчета, связанной с волной, постоянное поле оказывается по модулю меньшим и равным

$$E'_y = (E_y - (v_{ph}/c) B_0) / \sqrt{1 - v_{ph}^2/c^2}.$$

Температурные зависимости амплитуд гармоник поперечной составляющей для $v_{ph} \sim c$ приведены на рис. 1. Их возрастание обусловлено усиливающейся с увеличением T связью продольного и поперечного движений. Сдвиг частоты (4) имеет вклад,

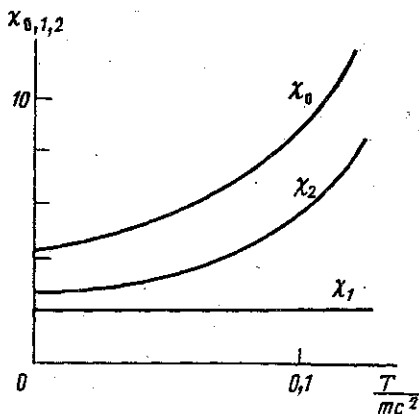


Рис. 1

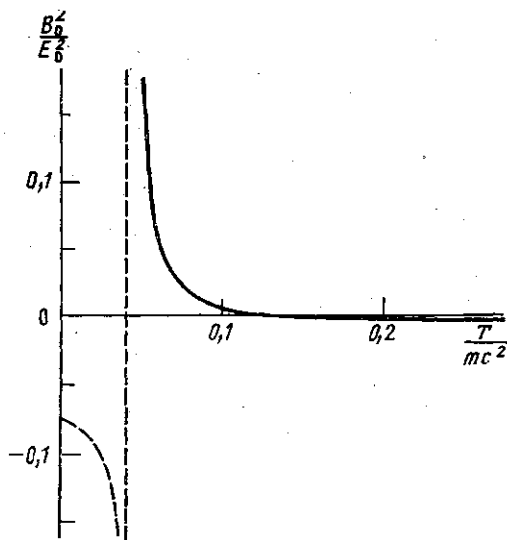


Рис. 2

Рис. 1. Температурная зависимость функций $\chi_{0,1,2}$, определяющих амплитуды постоянной составляющей $E_0 v_{E\omega} \chi_0 / (c\omega_p)$, первой и второй гармоник $E_0 v_{E\omega} \chi_{1,2} / (c\omega_p)$ поперечной компоненты верхнегибридной волны

Рис. 2. Зависимость от температуры отношения B_0^2/E_0^2 , при котором сдвиг частоты обращается в нуль

пропорциональный B_0^2 , следующий также из линейного приближения, и нелинейный вклад [3]. Полный сдвиг частоты может обращаться в нуль. Для $v_{ph} \sim c$ зависимость параметра B_0^2/E_0^2 от температуры, когда $\Delta\omega=0$, изображена на рис. 2, из которого видно, что присутствие магнитного поля уменьшает необходимую для обращения $\Delta\omega$ в нуль температуру на порядок по сравнению с немагнитной плазмой [5]. Сдвиг частоты для верхнегибридной волны в линейном приближении также может обращаться в нуль.

[1] Сагдеев Р. З. // Вопросы теории плазмы. М., 1964. С. 20. [2] Katsouleas T., Dawson J. M. // Phys. Rev. Lett. 1983. 151. P. 392. [3] Кузьменков Л. С., Соколов А. А., Трубаев О. О. // Изв. вузов, Физика. 1983. № 12. С. 17. [14] Ахиезер А. И., Ахиезер И. А., Половин Р. В. и др. Электродинамика плазмы. М., 1974. [5] Вахдейн А. С., Кузьменков Л. С., Трубаев О. О. // Физика плазмы. 1989. 15, № 10. С. 1197.

Поступила в редакцию
06.07.90

ВЕСТН. МОСК. УН-ТА. СЕР. 3, ФИЗИКА. АСТРОНОМИЯ. 1991. Т. 32, № 1

ОПТИКА И СПЕКТРОСКОПИЯ

УДК 621.373

ПРЕОБРАЗОВАНИЕ ПОПЕРЕЧНОЙ ПРОСТРАНСТВЕННОЙ КОГЕРЕНТНОСТИ И ПОЛЯРИЗАЦИОННЫХ СВОЙСТВ СВЕТА, РАСПРОСТРАНЯЮЩЕГОСЯ ЧЕРЕЗ НЕЛИНЕЙНЫЕ ГИРОТРОПНЫЕ СРЕДЫ

В. А. Алешкевич, А. А. Голубков, Г. Д. Кожоридзе, В. А. Макаров

(кафедра общей физики для физического факультета; кафедра общей физики
и волновых процессов)

Исследовано преобразование пространственных флуктуаций поля полностью неполяризованной световой волны на начальном этапе схлопывания пучка. Рассчитана критическая мощность самофокусировки. Показано, что в процессе распространения излучения в изотропной гиротропной среде его степень поляризации растет, а пространственная когерентность уменьшается.

В работе [1] было показано, что пространственная дисперсия кубической нелинейности значительно влияет на пороговые условия и характер самофокусировки когерентного эллиптически поляризованного излучения. Естественно ожидать, что в гиротропной среде преобразование флуктуаций светового поля также будет более сложным. Применение метода моментов [2] или «приосевого» приближения [3] к решению этой задачи не приведет к принципиальному упрощению (по сравнению, например, с методом статистических испытаний [4]) из-за необходимости численного решения большой системы дифференциальных уравнений. В связи с этим полезно предварительно рассмотреть преобразование флуктуаций на начальном этапе схлопывания пучка с использованием приближенных методов [5—7], приводящих к наглядным аналитическим результатам.

В данной работе на основе использования приближения фазового канала [7] исследуется преобразование поперечной пространственной когерентности (ППК) [3] и поляризационных свойств светового пучка с узким частотным спектром в процессе его распространения в гиротропной нерелаксирующей среде с пространственной дисперсией кубической нелинейности. В случае падения на среду полностью неполяризованного излучения найдены элементы матрицы поперечных корреляционных функций $\Gamma_{ij}(r_1, r_2, z_1) = \langle A_i(r_1, z_1) A_j^*(r_2, z_1) \rangle$ ($i, j = x, y$; $r = \{x, y\}$). Показано, что в процессе самовоздействия излучение становится частично поляризованным, уменьшается параметр ППК $K(z_1) = [R(z_1)/a(z_1)]^2$ (R и a — радиус корреляции и радиус пучка), причем критическая мощность самофокусировки существенно возрастает при уменьшении $K_0 = K(0)$.

Распространение частично когерентного света вдоль оси z_1 в изотропной гиротропной среде описывается следующей системой параболических уравнений [1] для медленно меняющихся амплитуд $A_{\pm} = A_x \pm i A_y$ циркулярно поляризованных компонент случайного поля:

$$\partial A_{\pm} / \partial z_1 + (i/2k) \Delta_{\perp} A_{\pm} = i \{ \pm \rho_0 - (\sigma_1/2 \mp \rho_1) |A_{\pm}|^2 - (\sigma_1/2 + \sigma_2) |A_{\mp}|^2 \} A_{\pm}, \quad (1)$$

где k — волновое число, $\Delta_{\perp} = \partial^2/\partial x^2 + \partial^2/\partial y^2$, $\sigma_{1,2}$ — величины, связанные с ненулевыми компонентами тензора кубической нелинейности, а $\rho_{0,1}$ — константы линейной и нелинейной гирации (в обычных средах $|\rho_1/\sigma_1| \ll 1$).